

В. Н. Быков, В. Г. Кориневский, В. Е. Еремяшев,
В. Н. Аифилогов

**ВОДА В ЧАНЧАРИТОВЫХ СТЕКЛАХ:
ИК-СПЕКТРОСКОПИЧЕСКОЕ ИССЛЕДОВАНИЕ**

V. N. BYKOV, V. G. KORINEVSKY, V. E. EREMYASHEV,
V. N. ANFILOGOV

WATER IN CHANCHARITE GLASSES:
IR-SPECTROSCOPY INVESTIGATION

Basaltic aquiferous glasses formed on the surface of effused chancharite pillow lavas have been studied by IR-spectroscopy methods. Quantitative characteristics of water contents both as molecular and as hydroxyl conditions have been obtained. It is given evidences that molar-absorbing coefficients, previously determined by us for rhyolite glasses ($\epsilon_{4500}=1.85$, $\epsilon_{5200}=1.00$), can be applied to basaltic glass. Authors had concluded that anomal-high content of water in the chancharite glass are caused by postmagmatic hydration of the glass at the low temperature.

В южной части Урала в пределах Сакмарской зоны в 15 км западнее пос. Ленинское Актюбинской обл. Казахстана В. Г. Кориневским обнаружены выходы своеобразных биотит-пироксеновых существенно калиевых основных магматических пород, получивших название чанчариты [3]. Часть их слагает подушечные лавовые потоки. Они изливались на дне морского бассейна, о чем свидетельствует нахождение среди лав чанчаритов прослоев яшм с остатками конодонтов и радиолярий, линз известняков с кораллами и строматопороидеями. По этой фауне возраст толщи чанчаритов определяется средним девоном (около 380 млн лет) [4].

В бассейне реки Чанчар подушки чанчаритов имеют в поперечнике от 0.5 до 6 м [5]. Поверхность подушечных лав покрыта коркой черного изотропного вулканического

стекла мощностью 5—15 см, под которой располагается кайма плохо раскристаллизованных пород с отчетливыми сферолитоподобными образованиями. Внутренние части подушек сложены равномерно-кристаллическим массивным чанчаритом, в котором чешуйки биотита занимают 5—10 % объема породы, тонкие призмы авгита (салита) — 7—25 %, роговой обманки — 0—3 %, магнетита — 0.5—1 %. Эти части подушечных лав (кристаллический массивный чанчарит, сферолитовый чанчарит и чанчаритовое стекло) имеют сходный химический состав (табл. 1). Однако, обращает на себя внимание значительно более низкое содержание калия в корковой стеклообразной части чанчаритов. Еще одной характерной особенностью чанчаритов являются необычно большие для магматических пород содержания воды. Даже в поликристаллических разновидностях чанчаритов оно находится в пределах 2.5—3.8 %, а в чанчаритовом стекле содержание воды достигает 12 %.

В настоящей работе сделана попытка изучения этого водосодержащего стекла из корковой части чанчаритов методом ИК-спектроскопии. Следует отметить, что эта работа является первым примером применения этого метода для количественной оценки содержания разных форм воды в вулканических стеклах Урала. Для исследования был взят образец смоляно-черного чанчаритового стекла В-598 с трещинками перлитовой отдельности (рис. 1) из корковой части крупного подушечного потока чанчаритов на правом берегу р. Чанчар. В шлифах стекло прозрачное, светло-бурового цвета, в основной своей массе изотропное с показателем преломления 1.550—1.556, местами хлоритизированное [3]. Участками в нем появляются скопления мелких кристаллов клинопироксена перистого сложения (рис. 2).

Инфракрасные спектры стекол были зарегистрированы на спектрометрах Specord 75IR в области 400—1400 cm^{-1} и Specord 61NIR в области 4000—8000 cm^{-1} . Образцы стекол были приготовлены по стандартным методикам: в виде спиртовой суспензии для средней области ИК спектра и в виде отшлифованных и отполированных с двух сторон пластинок — для ближней ИК области. Для изготовления пластинок выбирались участки стекла, свободные от кристаллических фаз. Шлифовка образцов проводилась сначала на обезвоженном керосине с по-

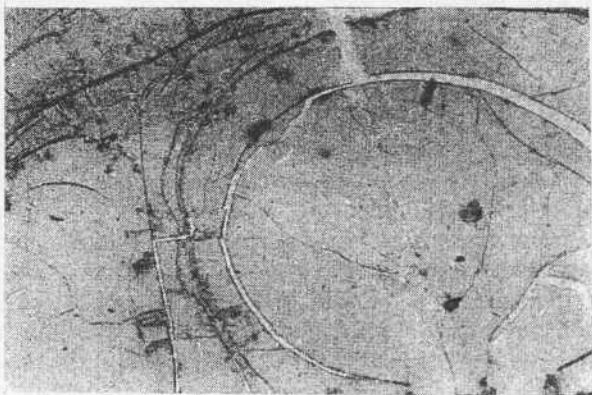


Рис. 1. Прозрачное вулканическое стекло чанчаритов.
(Видны концентрические трещины перлитовой отдельности.
Шлиф, без анализатора)

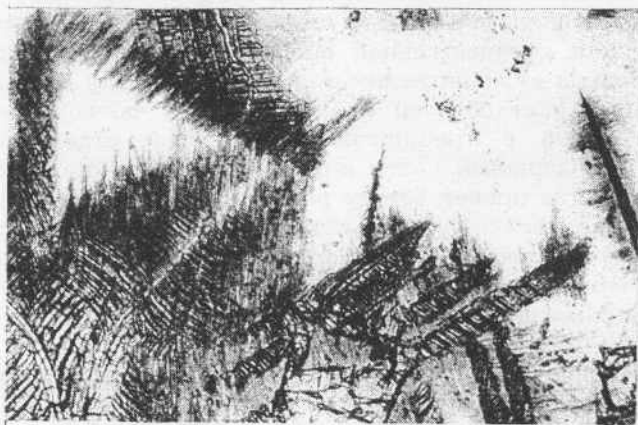


Рис. 2. Скелетные перистые кристаллы клинопироксена
в чанчаритовом стекле (шлиф, без анализатора)

мощью корундовых порошков, затем — на алмазных пастах. Термогравиметрические измерения были проведены на дериватографе Q-1000. Определение воды манометрическим методом проводилось на созданной нами вакуумной установке, описанной в [8].

На рис. 3 представлен инфракрасный спектр пропускания исследованного стекла в области $400 - 1400 \text{ см}^{-1}$. В спектре доминирует широкая полоса с максимумом в области 1025 см^{-1} на высокочастотном крыле которой наблюдается плохо разрешенная линия в области 1150 см^{-1} . Согласно [6], поглощение в этой области спектра обусловлено антисимметричными валентными колебаниями связей S-O-Si(A). Слабое поглощение в области 750 см^{-1} обусловлено симметричными валентными колебаниями связей Si-O-Si, а полоса в области 450 см^{-1} — деформационными колебаниями тетраэдров SiO_4 . Хорошо выраженная полоса с максимумом 870 см^{-1} , очевидно, связана с присутствием тетраэдрического алюминия и обусловлена колебаниями связей Al-O. Отсутствие полосы в области $900 - 950 \text{ см}^{-1}$, где в силикатных стеклах наблюдаются колебания немостиковых связей Si—O⁻, свидетельствует о том, что структура исследованного стекла представляет собой высокополимеризованную алюмосиликатную сетку. Это согласуется с химическим составом стекла: среднее отношение числа немостиковых атомов кислорода, приходящихся на один тетраэдрический катион (НМК/Т, где Т=Si, Al), рассчитанное по данным табл. 1, составляет 0.2.

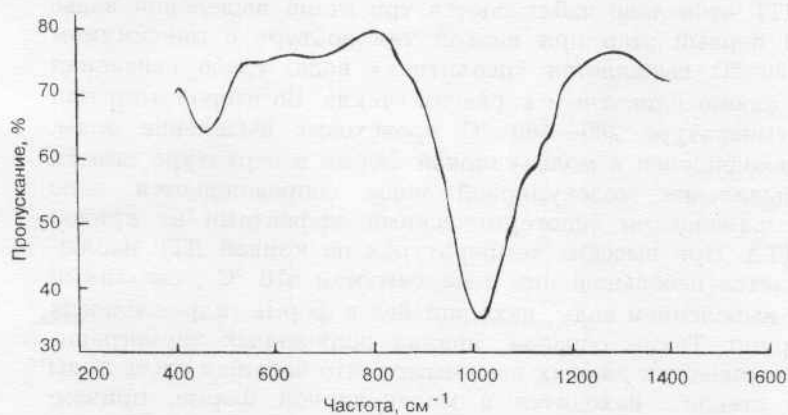


Рис. 3. Инфракрасный спектр чанчаритового стекла

Таблица 1
Средний химический состав (мас. %) чанчаритов
из различных зон подушечных лав

Компонент	П о р о д а		
	chancharitovoe стекло	сферолитовый chancharit	массивный chancharit
SiO ₂	50.30	50.90	51.97
TiO ₂	0.87	0.82	0.79
Al ₂ O ₃	16.11	16.35	16.23
Fe ₂ O ₃	3.49	3.68	3.91
FeO	3.82	3.64	3.54
MnO	0.13	0.10	0.09
MgO	3.30	4.42	4.71
CaO	6.45	5.14	4.13
Na ₂ O	2.88	3.92	2.73
K ₂ O	1.45	4.31	6.82
P ₂ O ₅	0.52	0.46	0.41
H ₂ O+	9.54	4.95	3.78
F	0.04	0.08	0.06
Cl	0.04	-	0.02
Число проб	6	14	17

Для изучения состояния воды в чанчаритовом стекле был проведен термогравиметрический анализ. Полученные кривые ДТА и ДТГ приведены на рис. 4. На кривой ДТГ отчетливо наблюдаются три этапа выделения воды. В первый этап при низкой температуре с максимумом 130 °C выделяется «цеолитная» вода, слабо связанная с алюмосиликатным каркасом стекла. Во второй этап при температуре 280—360 °C происходит выделение воды, находящейся в молекулярной форме в структуре стекла. Выделение молекулярной воды сопровождается явно выраженным эндотермическими эффектами на кривой ДТА. При высоких температурах на кривой ДТГ наблюдается небольшой пик с максимумом 570 °C, связанный с выделением воды, находящейся в форме гидроксильных групп. Таким образом, анализ полученных термогравиметрических данных показывает, что большая часть воды в стекле находится в молекулярной форме, причем, существует вода сильно и слабо связанная с каркасом стекла. Вместе с тем, некоторое количество воды находится в форме гидроксильных групп.

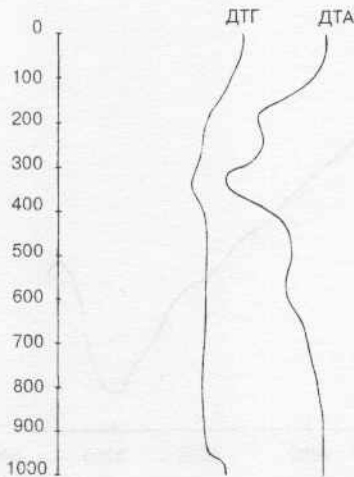


Рис. 4. Дериватограмма чанчаритового стекла.

Для более детального изучения состояния воды в стекле нами была использована ИК - спектроскопия в ближней области спектра. В инфракрасном спектре чанчаритового стекла наблюдаются полосы поглощения с максимумами в области 5200 и 4500 cm^{-1} (рис. 5). Поглощение при 5200 cm^{-1} обусловлено комбинацией валентного и деформационного колебания OH-групп молекуллярной воды, а поглощение при 4500 cm^{-1} приписано комбинации валентных колебаний Si(Al)-OH

групп [9, 12]. Из спектра видно, что в исследованном стекле вода в основном присутствует в молекулярной форме, что согласуется с результатами термогравиметрического анализа.

В работах [9, 10] показано, что полосы поглощения в области 5200 и 4500 cm^{-1} могут быть использованы для количественного определения концентрации различных форм воды в стеклах. Для этой цели было предложено следующее соотношение, основанное на законе Ламберта-Бэра и связывающее содержание воды в форме H_2O и OH-групп и интенсивности соответствующих полос поглощения:

$$C = \frac{18 \cdot A}{d \cdot \rho \cdot \epsilon}$$

где C — концентрация H_2O или OH-групп (мас. %)
 18 — молекулярный вес воды ($\text{г}/\text{моль}$)
 A — пиковая интенсивность поглощения
 d — толщина образца (см)
 ρ — плотность стекла ($\text{г}/\text{литр}$)
 ϵ — молярное поглощение ($\text{литр}/\text{моль} \cdot \text{см}$)

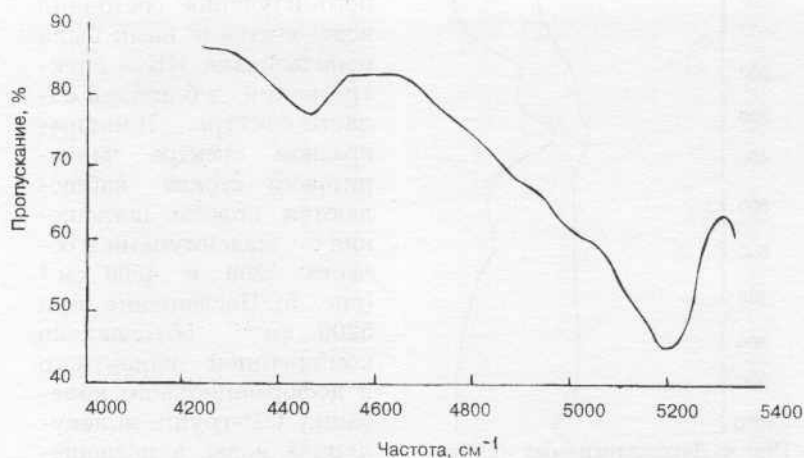


Рис. 5. Инфракрасный спектр чанчаритового стекла в ближней области

В данной работе были использованы значения молярного поглощения $\epsilon^{5200} = 1.00$ и $\epsilon^{4500} = 1.85$. Эти значения были определены нами ранее по десяти образцам природных риолитовых стекол: обсидианов и перлитов [2] по методике, изложенной в работе [10].

По соотношению (1) были вычислены следующие содержания воды в форме молекулярной воды и гидроксильных групп: $C_{H_2O} = 9.8$ вес. %, $C_{OH} = 1.3$ вес. %. Общая концентрация воды, определенная методом инфракрасной спектроскопии как сумма C_{H_2O} и C_{OH} , составляет 11.1 %. Хорошее соответствие с общим содержанием воды, определенным гравиметрическим ($C_{H_2O} = 11.1$ вес. %) и манометрическим ($C_{H_2O} = 11.0$ вес. %) методами свидетельствуют о том, что значения молярного поглощения, полученные нами для природных стекол риолитового состава, применимы для изученного стекла базальтового состава.

Известно [9, 12], что вода в силикатных стеклах при малых общих содержаниях воды (< 1 вес. %) растворяется в основном в форме гидроксильных групп. В стеклах с высоким содержанием воды большая часть воды находится в молекулярной форме. Однако, концентрация гидроксильных групп в стеклах, закаленных из водосодержащего расплава, достаточно высока и достигает значений

порядка 2.5 % [9, 10, 12]. В исследованном чанчаритовом стекле при общем высоком содержании воды (11.1 %), содержание гидроксильных групп значительно ниже, чем в стеклах, закаленных из расплава, и составляет 1.3 %.

В работе [11] на основании изучения экспериментально гидратированных стекол показано, что повышенные содержания молекулярной воды и, соответственно, более низкие концентрации гидроксильных групп характерны для стекол гидратированных при низких температурах. В [1] методом локального рентгеноспектрального анализа было показано, что для гидротермально измененных стекол по сравнению с неизмененными наблюдается уменьшение содержания натрия и особенно калия и некоторый привнос кальция. В чанчаритовом стекле эти закономерности также прослеживаются: резкое уменьшение содержания калия, некоторое уменьшение содержания натрия и увеличение — кальция по сравнению с массивным и сферолитовым чанчаритом, расположенным под коркой стекла (табл. 1).

Таким образом, полученные результаты свидетельствуют о том, что чанчаритовые стекла — это гидротермально измененные стекла, и высокое содержание воды в них обусловлено постмагматической низкотемпературной гидратацией стеклообразной корки подушечных лав, которая непосредственно контактировала с морской водой.

Работа выполнена при поддержке Российского фонда фундаментальных исследований (проект 95-05-14980).

Литература

1. Борисовский С. Е. Изучение микрохимической неоднородности кислых водосодержащих стекол методом локального рентгеноспектрального анализа //Перлиты, М., Наука, 1981, С. 140—152.
2. Быков В. Н., Наседкин В. В., Анфилогов В. Н., Еремяшев В. Н. Вода в вулканических стеклах: Исследование методом инфракрасной спектроскопии //Геохимия, в печати.

3. Золотарев Б. П., Ильинская М. Н., Кориневский В. Г. Состав и геохимические особенности калиевой щелочной разновидности трахиандезито-базальтов//Изв. АН СССР, сер. геол., 1975, № 1, С. 136—149.
4. Кориневский В. Г. Новые данные по стратиграфии вулканического девона на юге западного склона Мугоджар//Вулканализм Южного Урала, Свердловск, УНЦ АН СССР, 1974, С. 111—119.
5. Кориневский В. Г. Эффузивы Урала, Свердловск, Изд-во УрГУ, 1987, 144 с.
6. Лазарев А. Н. Колебательные спектры силикатов. Л., 1968, 347 с.
7. Наумов Г. Б., Салазкин А. Н., Миронова О. Ф., Савельева Н. И. Методы изучения флюидных ореолов при поисках гидротермальных руд. М., ГЕОХИ, 1983, 75 с.
9. McMillan P. F. Water solubility and speciation model//Rev. Mineral., 1994. V. 30, P. 131—156.
10. Newman S., Stolper E. M., Epstein S. Measurement of water in rhyolitic glasses: Calibration of an infrared spectroscopic technique//Am. Mineral., 1986. V. 71. P. 1527—1541.
11. Obert B. H., Doremus R. H. Infrared study of soda-lime glass during hydration and dehydration//J. Am. Ceram. Soc., 1983. V. 66. P. 163—166.
12. Stolper E. M. Water in silicate glasses: An infrared spectroscopic study//Contrib. Mineral. Petrol. 1982. V. 81. P. 1—17.